

И Н С Т И Т У Т ⁵⁷
ЯДЕРНОЙ ФИЗИКИ СОАН СССР

ПРЕПРИНТ И Я Ф 75 - 95

А.Н.Алешаев, В.А.Дзюба, М.М.Карлинер,

П.Б.Лысянский, Б.М.Фомель

РЕГУЛЯРИЗАЦИЯ ПРЯМОГО МЕТОДА
ВЫЧИСЛЕНИЯ СТАЦИОНАРНЫХ МАГНИТНЫХ
ПОЛЕЙ В СИСТЕМАХ С ЖЕЛЕЗОМ

Новосибирск

1975

А.Н.Алешаев, В.А.Дзюба, М.М.Карлинер, П.Б.Лысянский,
Б.М.Фомель

РЕГУЛЯРИЗАЦИЯ ПРЯМОГО МЕТОДА ВЫЧИСЛЕНИЯ
СТАЦИОНАРНЫХ МАГНИТНЫХ ПОЛЕЙ В СИСТЕМАХ С ЖЕЛЕЗОМ

А Н Н О Т А Ц И Я

Работа посвящена применению и регуляризации прямого метода вычисления стационарных магнитных полей для расчета аксиально-симметричных систем с железом.

Программа для ЭВМ проверена на тестовых задачах. Приводится пример расчета отклоняющей магнитной системы с железом.

С о д е р ж а н и е

1. Прямой метод вычисления магнитных полей	2
2. Аксиально-симметричные системы	4
3. Тестовые задачи	6
4. Регуляризация прямого метода	8
5. Программа MIMF	10
6. Пример	10
7. Литература	II

I. ПРЯМОЙ МЕТОД ВЫЧИСЛЕНИЯ МАГНИТНЫХ

ПОЛЕЙ

Системы с железом, создающие стационарные магнитные поля, могут быть описаны либо дифференциальными, либо интегральными уравнениями.

В первом случае для численного решения уравнений необходимо покрывать сеткой всю исследуемую область и задавать граничные условия. Во втором случае сетка строится в области железа, а вне железа поле вычисляется только в заданных точках, например, вдоль траекторий заряженных частиц.

Прямой метод вычисления магнитных полей [1] использует понятие скалярного магнитного потенциала и относится к методам интегральных уравнений.

Напряженность магнитного поля \vec{H}_m в прямом методе представляется в виде суммы двух составляющих: \vec{H}_c , обусловленной токами проводимости в обмотках, и \vec{H}_m , обусловленной намагничиванием железа

$$\vec{H} = \vec{H}_c + \vec{H}_m \quad (1)$$

Составляющие поля удовлетворяют уравнениям

$$\begin{aligned} \operatorname{rot} \vec{H}_c &= \vec{j} & \operatorname{rot} \vec{H}_m &= 0 \\ \operatorname{div} \vec{H}_c &= 0 & \operatorname{div} \vec{H}_m &\neq 0 \end{aligned} \quad (2)$$

где \vec{j} — плотность тока проводимости.

Токовая составляющая поля \vec{H}_c может быть вычислена интегрированием по объему, занимаемому токами проводимости [3].

$$\vec{H}_c = \frac{1}{4\pi} \int_V \frac{[\vec{j} \vec{e}]}{r^3} dV \quad (3)$$

Для определения составляющей \vec{H}_m вследствие уравнений:
(2) вводится скалярный магнитный потенциал ψ

$$\vec{H}_m = -\text{grad } \psi \quad (4)$$

причем ψ выражается через вектор намагничивания \vec{M} путем интегрирования по объему железа

$$\psi = \frac{1}{4\pi} \int \frac{\vec{M} \cdot \vec{z}}{z^3} dV \quad (5)$$

Вектор намагничивания можно также определить через полное поле

$$\vec{M} = \mathcal{K} \vec{H} \quad (6)$$

где \mathcal{K} — магнитная восприимчивость, в общем случае, зависящая от \vec{H} .

Совместное рассмотрение выражений (1), (4), (5), (6) приводит к интегральному уравнению относительно поля \vec{H} .

$$\vec{H} = \vec{H}_c - \text{grad} \left(\frac{1}{4\pi} \int \frac{\mathcal{K} \vec{H} \cdot \vec{z}}{z^3} dV \right) \quad (7)$$

Для численного решения этого уравнения область, занимаемая железом, разбивается на N элементов так, чтобы поле \vec{H} слабо изменялось внутри элемента. Тогда интеграл в уравнении (7) можно заменить суммой интегралов по элементам, для каждого из которых $\mathcal{K} \vec{H}$ выносится за знак интеграла и градиента.

Пусть, например, точки a и b — центры двух элементов разбиения. Тогда для X — компоненты поля в точке a имеем

$$H_x(a) = H_{cx}(a) + \sum_{b=1}^N [C_{axbx} \mathcal{K}_b H_x(b) + C_{axby} \mathcal{K}_b H_y(b) + C_{axbz} \mathcal{K}_b H_z(b)]$$

где

$$C_{axbx} = -\frac{1}{4\pi} \frac{\partial}{\partial x} \int \frac{x-x'}{r^3} dV'_b$$

$$C_{axby} = -\frac{1}{4\pi} \frac{\partial}{\partial y} \int \frac{y-y'}{r^3} dV'_b$$

$$C_{axbz} = -\frac{1}{4\pi} \frac{\partial}{\partial z} \int \frac{z-z'}{r^3} dV'_b$$

$$r = \sqrt{(x-x')^2 + (y-y')^2 + (z-z')^2}$$

x', y', z' — координаты точки наблюдения (точки a).

Выражения для $H_y(a)$ и $H_z(a)$ аналогичны.

Записав такие соотношения для N элементов железа, получим квазилинейную систему $3N$ уравнений с $3N$ неизвестными. В матричной форме эта система имеет вид

$$(C\mathcal{K} + I)\vec{H} = -\vec{H}_c \quad (8)$$

где C — матрица коэффициентов, зависящих только от геометрии разбиения, \mathcal{K} — диагональная матрица, I — единичная матрица.

Решение системы (8) путем итераций дает поле в железе.

Поле в произвольной точке пространства вычисляется как сумма токовой составляющей \vec{H}_c (3) и составляющей $\vec{H}_m = C'\vec{H}$ (C' — матрица геометрических коэффициентов (4-6)).

Таким образом, вычисление магнитного поля прямым методом состоит из трех этапов: сначала по заданной плотности тока в обмотках вычисляется токовая составляющая поля, затем определяется полное поле в железе, и наконец, вычисляется поле в любой заданной точке пространства.

2. АКСИАЛЬНО-СИММЕТРИЧНЫЕ СИСТЕМЫ

В работе [1,2] рассматривались, в основном, трехмерные и плоско-параллельные задачи. Поскольку стимулом для выполнения настоящей работы явилась потребность в разработке отклоняющих магнитных систем с осевой симметрией, то здесь подробно рассматриваются именно такие системы.

С вычислительной точки зрения аксиальная симметрия удобна тем, что позволяет трехмерную задачу свести к двумерной и в цилиндрической системе координат изучать только плоскость z, \bar{z} .

В рассмотренном выше прямом методе наибольшие аналитические трудности вызывает вывод формул для геометрических коэффициентов влияния C_{ij} . При численном счете задачи процедура вычисления этих коэффициентов также занимает большую часть машинного времени. Для упрощения формул и сокращения машинного времени была выбрана простая геометрическая форма элементов разбиения железа - прямоугольника в плоскости z, \bar{z} . В работе [1] в качестве элементов разбиения железа использовались треугольники.

Ниже приведены формулы для коэффициентов влияния прямоугольных элементов.

$$C_{zzz} = \frac{1}{2\pi} \frac{z}{\sqrt{z^2 + (x_0 + z)^2}} \left[\frac{\sqrt{z^2 + x_0^2} + z}{\sqrt{z^2 + x_0^2} - x_0} \mathcal{I}(n_1, k) + \right. \\ \left. + \frac{\sqrt{z^2 + x_0^2} - z}{\sqrt{z^2 + x_0^2} + x_0} \mathcal{I}(n_2, k) \right]_{z_1, z_2}^{z_2, z_2} \quad (9)$$

$$C_{z\bar{z}} = \frac{1}{\pi} \left[(z\varphi) \Big|_{z_1}^{z_2} - \int_{z_1}^{z_2} \varphi dz \right]_{z_1, z_2}^{z_2, z_2}, \text{ где } \varphi = \frac{F(k)}{\sqrt{z^2 + (x_0 + z)^2}}$$

6.

$$C_{Rz} = \left[\frac{z^2 + x_0^2 + z^2}{2x_0 \pi \sqrt{z^2 + (x_0 + z)^2}} F(k) - \frac{\sqrt{z^2 + (x_0 + z)^2}}{2x_0 \pi} E(k) \right]_{z_1, z_1}^{z_2, z_2}$$

$$C_{RR} = \left[\frac{z \sqrt{z^2 + x_0^2}}{2\pi x_0 \sqrt{z^2 + (x_0 + z)^2}} \left\{ \frac{z - \sqrt{z^2 + x_0^2}}{\sqrt{z^2 + x_0^2} + x_0} \mathcal{I}(n_2, k) + \right. \right. \\ \left. \left. + \frac{z + \sqrt{z^2 + x_0^2}}{\sqrt{z^2 + x_0^2} - x_0} \mathcal{I}(n_1, k) \right\} - \frac{1}{\pi} \frac{z z}{x_0 \sqrt{z^2 + (x_0 + z)^2}} F(k) \right]_{z_1, z_1}^{z_2, z_2}$$

где $F(k)$, $E(k)$, $\mathcal{I}(n, k)$ - полные эллиптические интегралы соответственно 1, 2 и 3 рода.

3. ТЕСТОВЫЕ ЗАДАЧИ

На основе прямого метода была написана программа для расчета стационарных магнитных полей в аксиально-симметричных системах с железом. При этом магнитная восприимчивость железа считалась постоянной, не зависящей от \vec{H} . На следующем этапе работы предполагается ввести учет зависимости $\mu(\vec{H})$ и организовать итерационный цикл для нелинейной задачи.

Для отладки программы были решены следующие тестовые задачи.

1. Рассматривался соленоид с железом.

При $\mu = 0$ ($\mu = 1$) решение сравнивалось с полем соленоида, рассчитанным по уравнению (3). Получено полное совпадение результатов.

2. Для случая, когда размеры железа малы по сравнению с расстоянием до точки наблюдения, решение сравнивалось с расчетом по дипольным формулам [4]

$$H_z = M_z \frac{2z^2 - z^2}{(z^2 + z^2)^{5/2}} \quad H_z = M_z \frac{3z^2}{(z^2 + z^2)^{5/2}}$$

$$M_z = \frac{1}{4\pi} \times HV + \frac{1}{4\pi} \pi R^2 I$$

где I - ток в обмотке соленоида с радиусом R ,
 V - объем железа.

Различие результатов при расчете поля в 12 точках не превышает в среднем 5%.

3. Проверка закона полного тока $\int H dl = I$.

Результаты вполне удовлетворительны (<1%)

4. Магнитное поле внутри вытянутого или сплюснутого эллипсоидов вращения, помещенных в однородное магнитное поле может быть определено по формуле [4].

$$H = \frac{H_0}{K + (1-K)M}$$

где H_0 - внешнее поле,

$$K \approx 1 - \frac{\epsilon \mu \Delta - 1}{\Delta^2} \quad \text{при } \Delta \geq 10$$

$$K \approx \frac{\pi \Delta}{2 + \pi \Delta} \quad \text{при } \Delta \leq 0,1$$

$\Delta = \frac{a}{b}$ - отношение полуосей эллипсоидов.

В программе эллипсоиды в плоскости z, z были аппроксимированы набором прямоугольников и помещены в поле большого соленоида.

Различие результатов лежит в пределах 8%.

5. Если железный шар поместить в однородное магнитное поле, то магнитное поле внутри шара однородно и может быть определено [4] по формуле

$$H = H_0 \frac{3}{2 + M}$$

а снаружи шара - по формулам:

$$H_z = H_0 \left[1 + \frac{M-1}{M+2} R^3 \frac{2z^2 - z^2}{(z^2 + z^2)^{5/2}} \right]$$

$$H_z = H_0 \frac{3(M-1)}{M+2} R^3 \frac{z^2}{(z^2 + z^2)^{5/2}}$$

В программе шар аппроксимировался набором из 40 колец. При $M = 10$ результаты счета прямым методом и счета по формулам отличались не более, чем на 1%.

Однако, при $M \geq 100$ магнитное поле внутри железа начинает сильно изменяться от элемента к элементу. Происходят отклонения от правильного решения в обе стороны более, чем на порядок. Вне железа поле искажается меньше, точность вычисления по сравнению с формулами снижается всего на 1-2%.

4. РЕГУЛЯРИЗАЦИЯ ПРЯМОГО МЕТОДА

Указанные в конце предыдущего параграфа факты отмечены также в работе [5]. Подробный анализ полученного решения показал, что в нем присутствуют вихревые потоки магнитного поля, циркулирующие внутри железа. Характер вихрей и даже их существование сильно зависят от способа разбиения железа на элементы. Таким образом, задача вычисления магнитного поля прямым методом является некорректной [6], так как нарушается непрерывность зависимости решения задачи от исходных данных.

Формально некорректность задачи проявляется в плохой обусловленности матрицы A в уравнении (8)

$$A \vec{H} = -\vec{H}_0 \quad (8)$$

что в свою очередь является следствием сингулярности интегрального выражения (7). Обусловленность матрицы $A = \alpha C + I$

тем хуже, чем больше величина α . При больших α

$$A \approx \alpha C$$

Отсюда следует, что если выбором формы и размеров элементов в железе можно улучшить обусловленность матрицы C , то тем самым будет улучшена обусловленность и матрицы A . Такой способ использован в работе [4].

В настоящей работе применяется метод сглаживающего функционала А.Н.Тихонова [6] как наиболее общий метод регуляризации некорректных задач.

В отличие от обычного решения линейной системы (8), которое удовлетворяет условию минимума квадратичного функционала

$$Q_1 = \|A\vec{H} + \vec{F}_c\|^2, \quad (I0)$$

по методу А.Н.Тихонова система (8) решается при условии минимума функционала

$$Q_2 = \|A\vec{H} + \vec{F}_c\|^2 + \alpha \|\vec{H}\|^2 \quad (II)$$

где α — безразмерный параметр регуляризации.

Условие минимума функционала (II) фактически не дает возможности появиться собственному вихревому решению с большим значением $\|\vec{H}\|^2$. Применение этого метода к решению тестовой задачи "Шар в однородном поле" привело к исчезновению вихрей. Без регуляризации, как было сказано в предыдущем параграфе, величина вихревого поля на порядок превышала "правильное" невихревое решение. На рис. I а и б изображены направления векторов намагничивания до и после регуляризации. Параметр α подбирался экспериментально. Видно, что регуляризация задачи с помощью функционала (II) полностью устраняет паразитное вихревое решение.

5. ПРОГРАММА MIMF

Программа MIMF предназначена для расчета стационарных магнитных полей и траекторий электронов в аксиально-симметричных системах с железом при постоянной магнитной проницаемости.

Элементы разбиения железа имеют прямоугольную форму. Токовые поля создаются соленоидами, размеры и расположение которых произвольны.

При объеме программы 21 К слов на ЭВМ "Одра-1305" имеется возможность разбиения железа на 40 элементов. При этом время расчета намагничивания железа составляет примерно 5 мин., время расчета поля в одной произвольной точке при известном намагничении ~ 6 сек.

Входными параметрами программы являются геометрия системы и элементов железа, заданная точность расчета и начальные параметры электронного пучка.

6. ПРИМЕР

Программа расчета магнитных полей в системах с железом была использована по предложению И.А.Шехтмана для разработки отклоняющей магнитной системы мощного СВЧ-генератора.

Отклоняющая система должна обеспечить определенный фазовый объем электронного пучка на выходе при заданных параметрах пучка на входе и минимальной потребляемой мощности. На рис. 2 демонстрируется один из приемлемых вариантов отклоняющей системы. Показан радиальный разрез железа (ось симметрии слева) и

траектории двух крайних электронов пучка в плоскости r, z .
 Точками изображается разрез железа в плоскости r, z ,
 буквами R и Z - значения компонент H_z и H_r в точках
 прохождения второй частицы, цифрами 1 и 2 - траектории двух
 крайних частиц пучка.

Диаметр пучка на входе - 2 см. энергия - 1.5 Мэв, ток
 в обмотке, прилегающей к внутренней стороне наружной стенки
 отклоняющей системы - 8,2 кА, высота катушки 10 см.

7. Литература

1. L.R. Turner RL-73-102, 1973
2. C.J. Collie, C.W. Trowbridge, RL-74-132, 1974
3. И.Е.Тамм, Основы теории электричества, Наука, 1966.
4. К.Н.Поливанов, Ферромагнетизм, Госэнергоиздат, 1957.
5. A.G. Armstrong a.o., RL-75-066, 1975
6. А.Н.Тихонов, В.Я.Арсенин, Методы решения некорректных
 задач, Наука, 1974г.

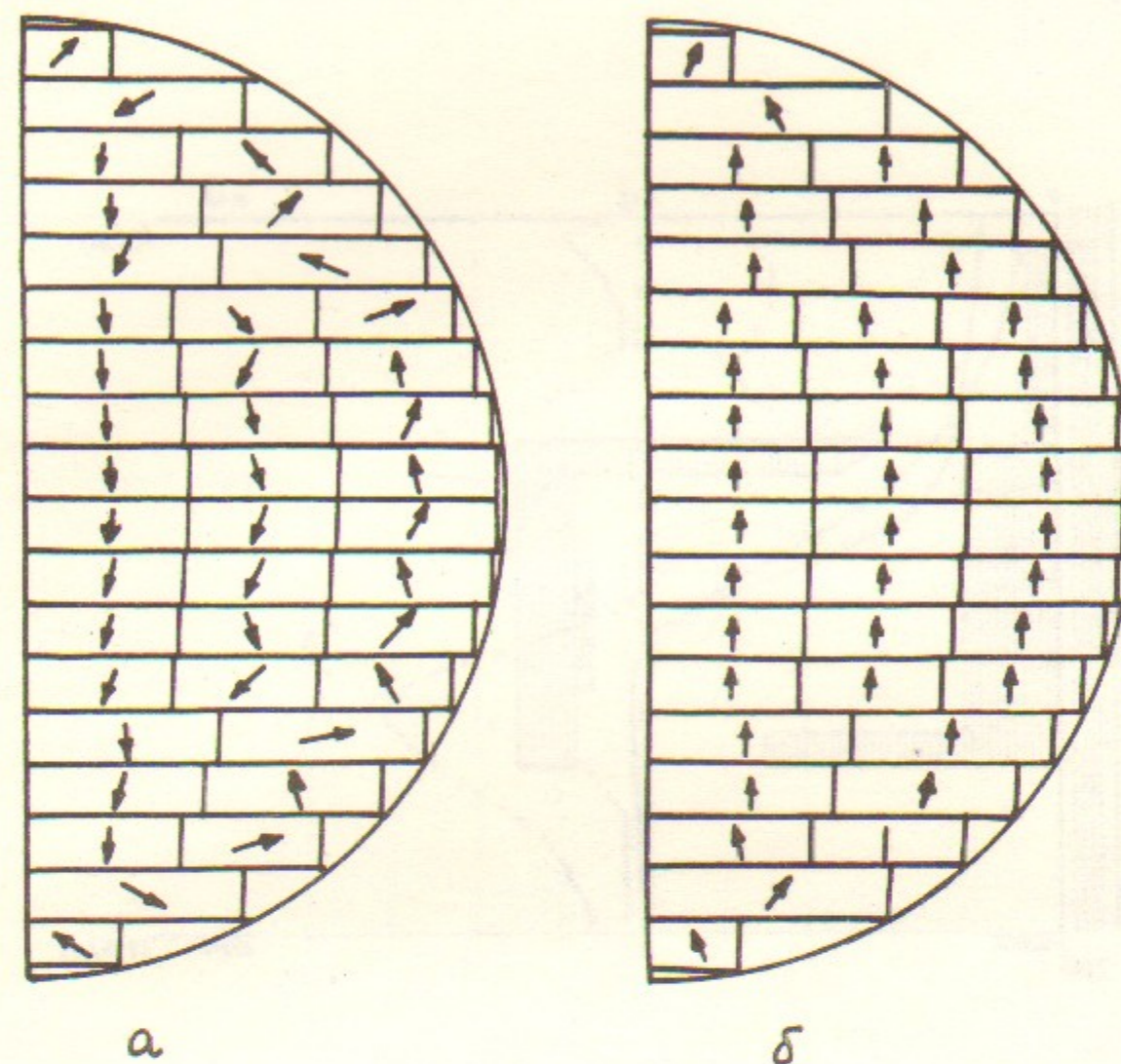


Рис 1

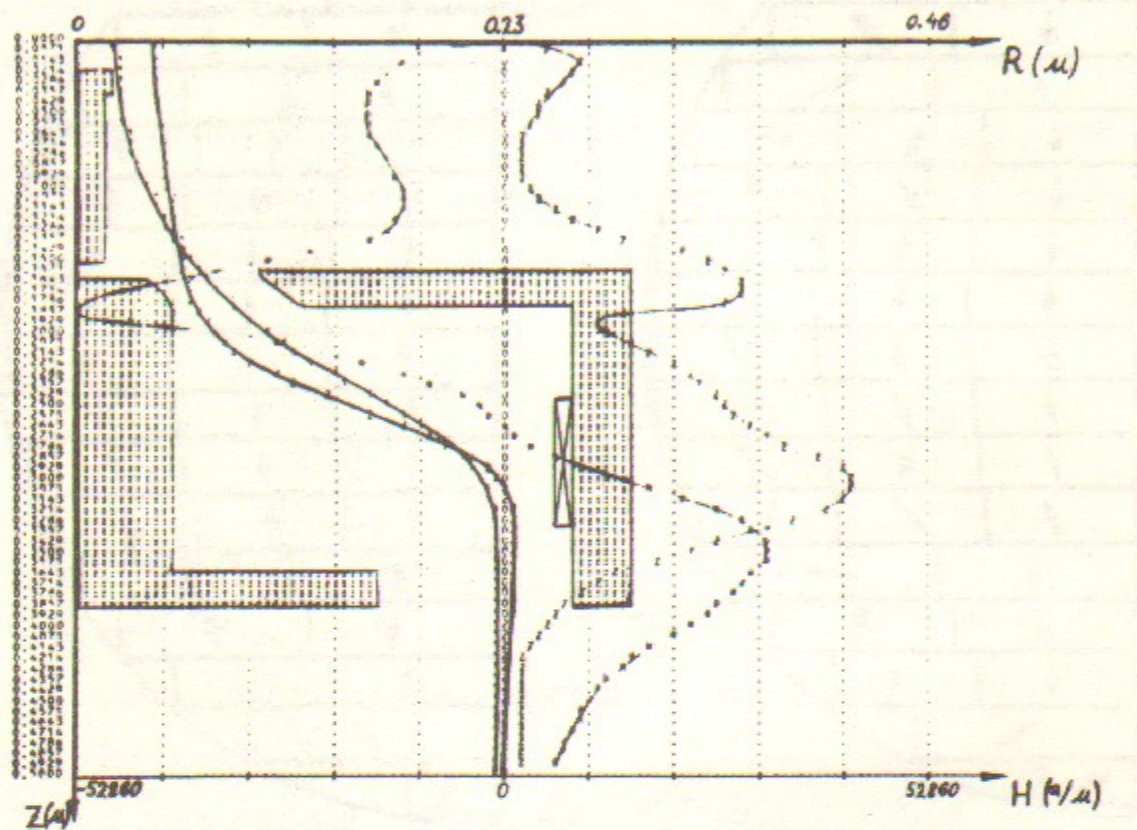


Рис 2

Работа поступила 20 октября 1975г.

Ответственный за выпуск Г.А.СПИРИДОНОВ
 Подписано к печати 27.X-1975г. МН 03195
 Усл. 0,8 печ.л., тираж 200 экз. Бесплатно.
 Заказ № 95.

Отпечатано на ротационной машине в ИИФ СО АН СССР